

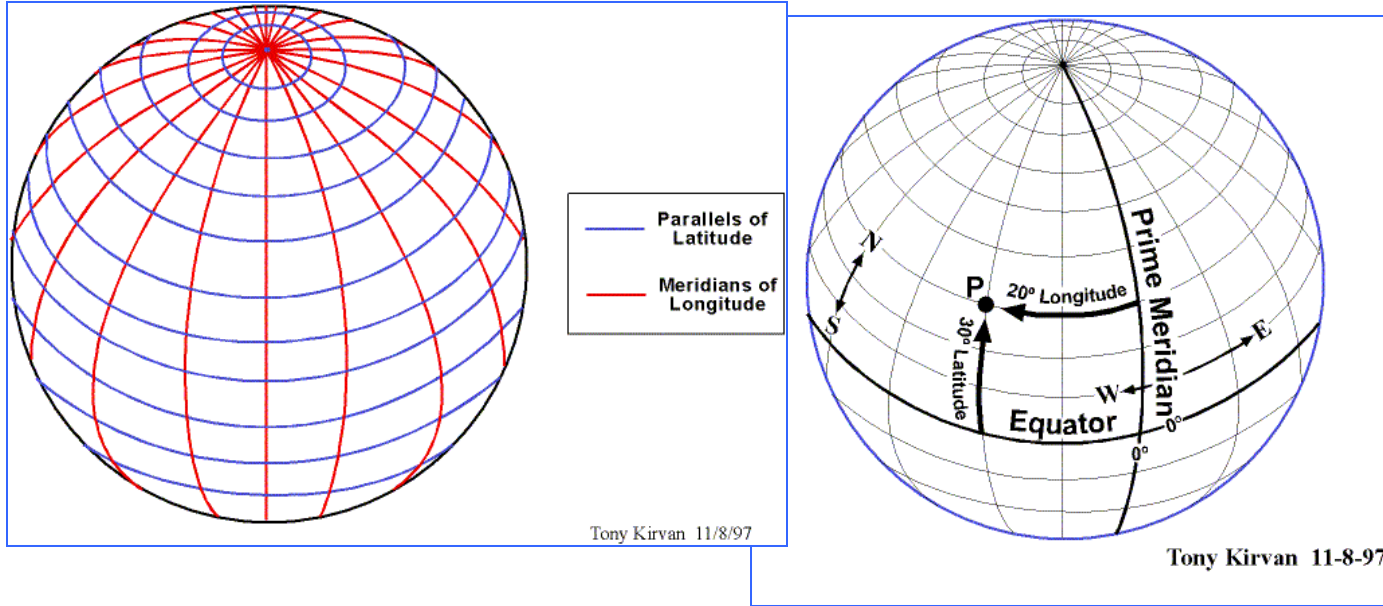
---

# Geometria di un satellite

- Sfera Celeste
- Sistemi di Coordinate
- Studio Eclissi
- Geometria Terra / Satellite

SMAD Chapter 5 p. 95

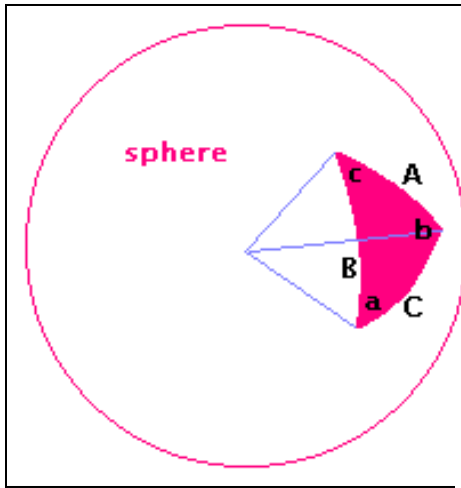
# Sfera Celeste 1/2



azimuth (longitudine  $\ell$ )  
elevazione (latitudine  $\lambda$ )

$$\begin{aligned}x &= \cos \ell \cos \lambda \\y &= \sin \ell \cos \lambda \\z &= \sin \lambda\end{aligned}$$

# Sfera Celeste 2/2



A spherical triangle consists of Great Circle Arcs, extending from the sphere's center, forming Great Circle Angles. Relations among arcs and angles are:

$$\cos(A) = \cos(B) \cos(C) + \sin(B) \sin(C) \cos(a)$$

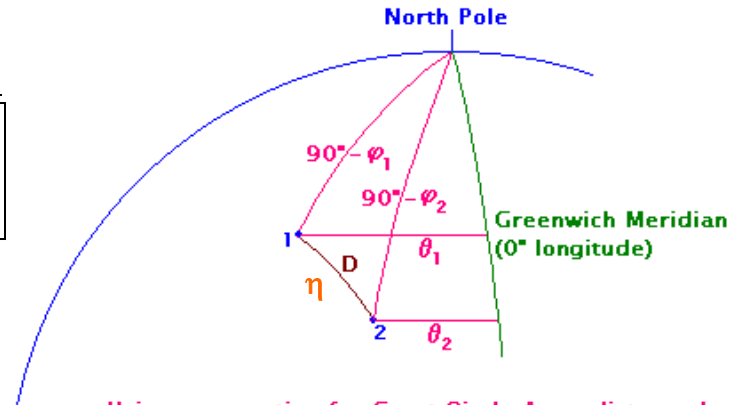
$$\cos(a) = -\cos(b) \cos(c) + \sin(b) \sin(c) \cos(A)$$

$$\sin(A)/\sin(a) = \sin(B)/\sin(b) = \sin(C)/\sin(c)$$

SMAD Appendix D  
Table D-3 p. 907

$\varphi_1, \varphi_2$  elevazione

$\theta_1, \theta_2$  azimuth



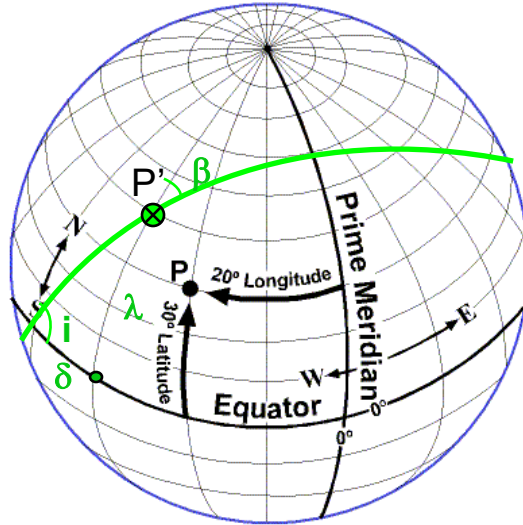
Using an equation for Great Circle Arcs, distance between 1 & 2 is estimated as:

$$\cos(\eta) = \cos(90^\circ - \varphi_1) \cos(90^\circ - \varphi_2) + \sin(90^\circ - \varphi_1) \sin(90^\circ - \varphi_2) \cos(\theta_1 - \theta_2)$$

$$D = 2\pi R_r / (2\pi) \arccos(\sin(\varphi_1) \sin(\varphi_2) + \cos(\varphi_1) \cos(\varphi_2) \cos(\theta_1 - \theta_2))$$

# Finestre di Lancio

P' (30° W, 40° N)



Tony Kirvan 11-8-97

SMAD chapter  
6.4 p. 153-155

$$v_{sud} = -v_o \cos \gamma \cos \beta_L$$

$$v_{est} = v_o \cos \gamma \sin \beta_L - v_\lambda$$

$$v_r = v_o \sin \gamma \quad (v_z)$$

$$v_\lambda = 464.5 \cos \lambda \text{ m/s}$$

$$\lambda > i ?$$

$$\lambda = i ?$$

$$\lambda < i ?$$

SMAD Appendix D  
Table D-1 p. 905 riga  
4 col. 3

SMAD Appendix D  
Table D-1 p. 905 riga  
5 col. 3

$$\sin \beta = \cos i / \cos \lambda$$

$$\cos \delta = \cos \beta / \sin i$$

$$LST = \Omega + \delta$$

$$LST = \Omega + 180^\circ - \delta$$

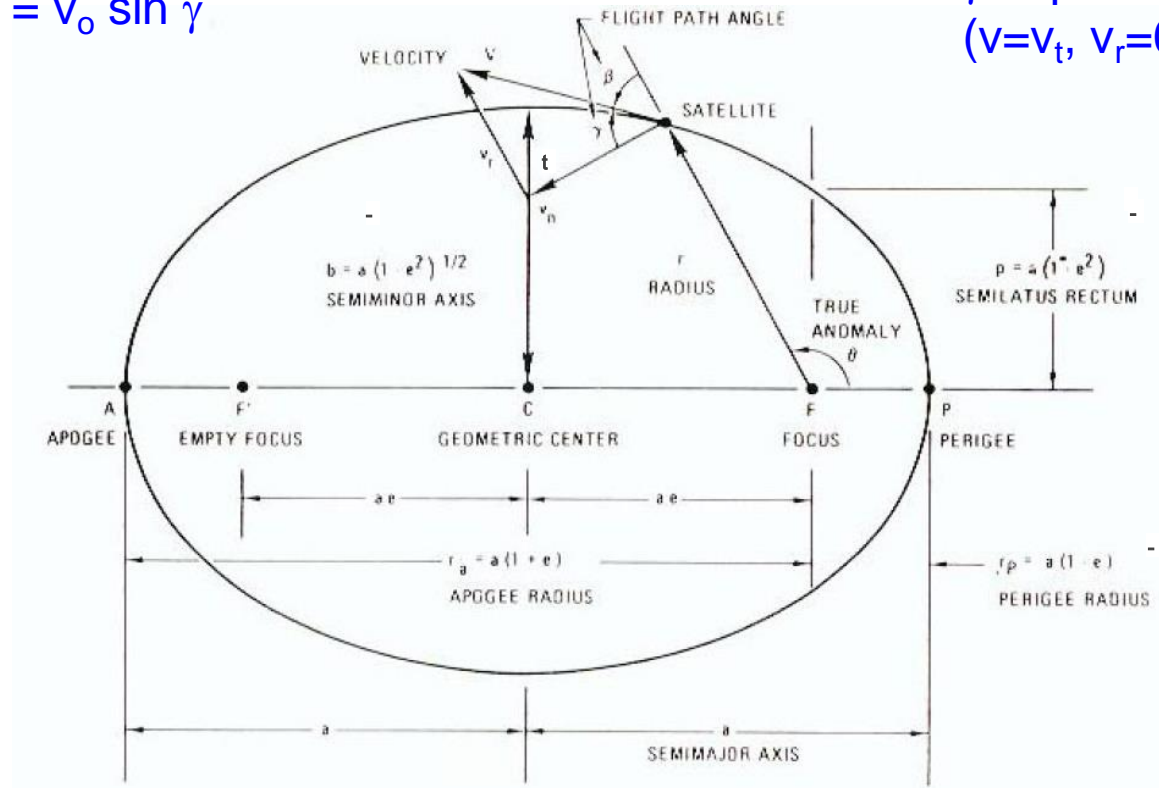
$\beta$  azimuth di lancio  $\gamma$   
angolo traiettoria  
volo al *burn-out*  
(vedi prossima slide)

# Parametri Ellisse

$$v_t = v_o \cos \gamma (*)$$

$$v_r = v_o \sin \gamma$$

$\gamma=0$  per orbite circolari  
( $v=v_t$ ,  $v_r=0$ )



# Sistemi di Coordinate 1/3

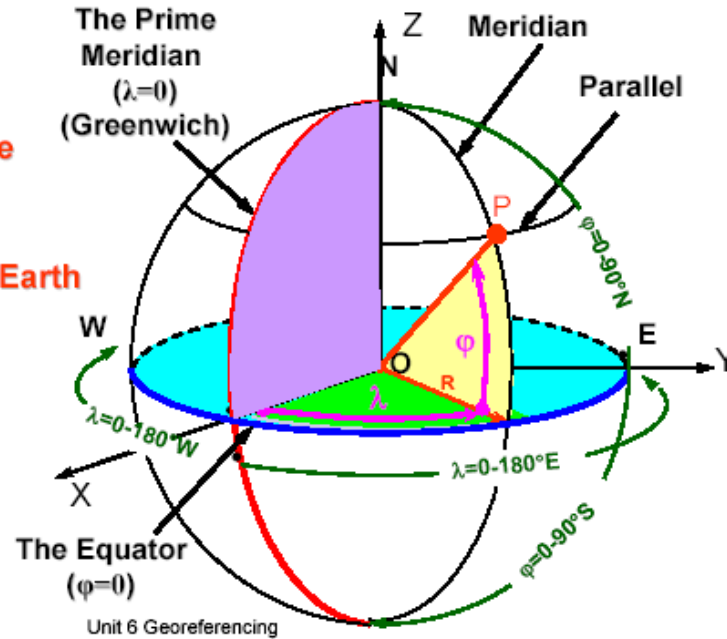
## Sistema Geocentrico “Geografico”

$\lambda$  - Geographic longitude

$\varphi$  - Geographic latitude

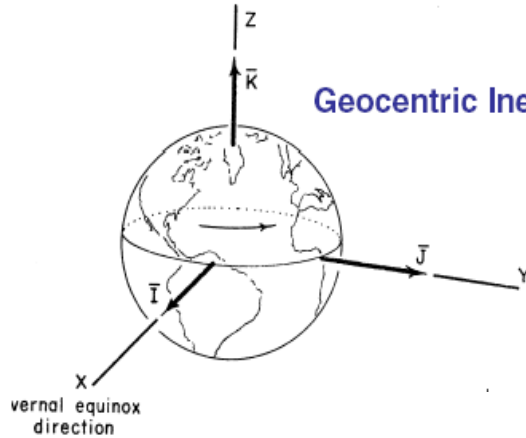
$R$  - Mean Radius of the Earth

$O$  - The Geo-Center

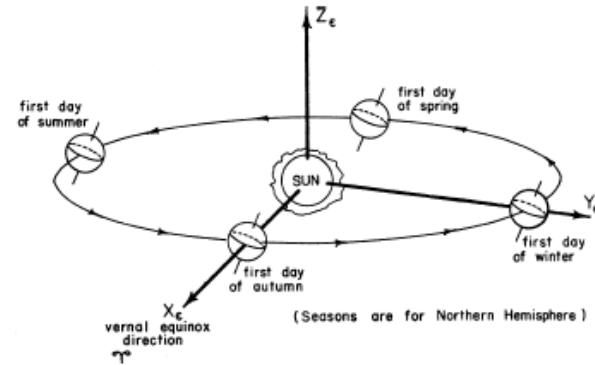


Attenzione all'indicazione lat/long !

# Sistemi di Coordinate 2/3

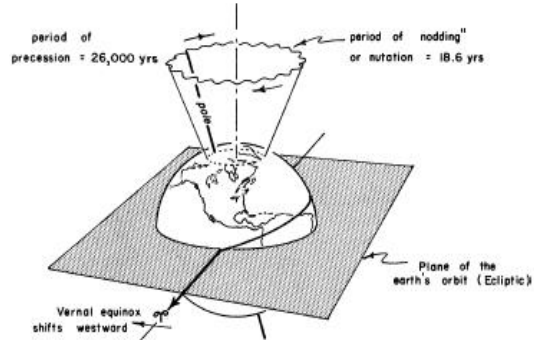


## Heliocentric Inertial System



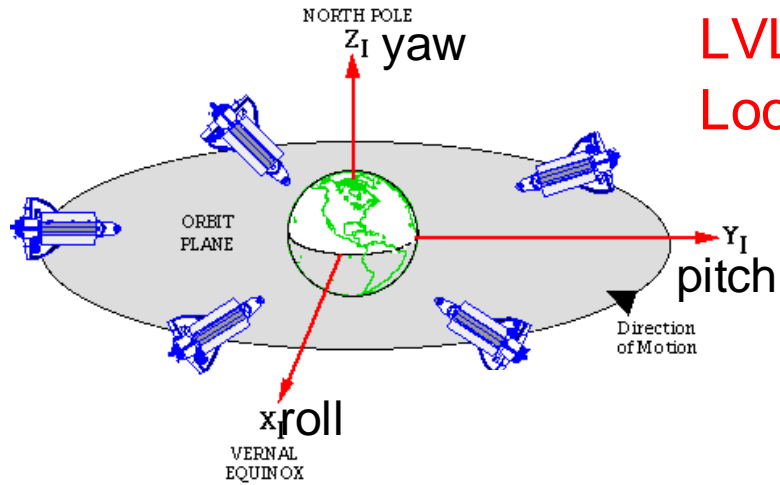
azimuth = ascensione retta  $\alpha$

elevazione = declinazione  $\delta$



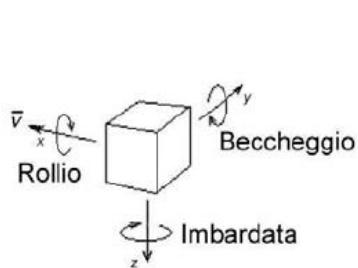
50.2786" westerly drift of the Vernal Equinox per year

# Sistemi di Coordinate 3/3



LVLH

Local Vertical – Local Horizontal



Pitch = 0  
Yaw = 0  
Roll = 0

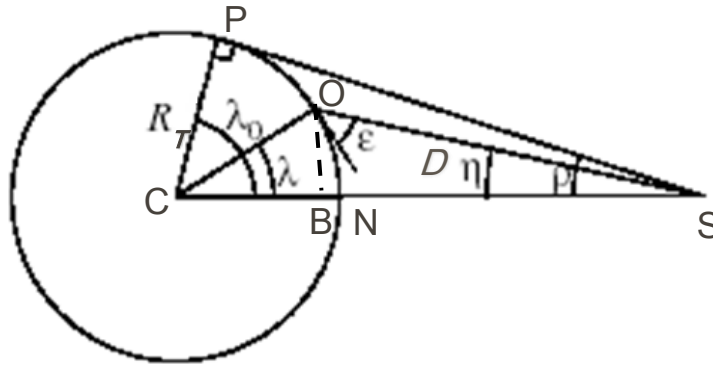


← Direction of Motion





# Geometria Terra / Satellite 1/3



$\rho$  raggio angolare Terra

$\eta$  angolo di nadir

$\epsilon$  elevazione

$\lambda$  angolo centrale Terra  
(swath width)

SMAD chapter 5.2  
fig 5-13 p. 110-113

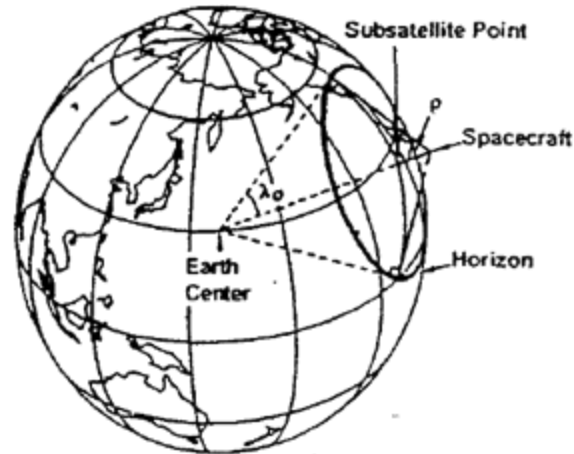
$$\sin \rho = \cos \lambda_0 = R_T / R = R_T / (R_T + h)$$

$$\sin \eta = \cos \epsilon \sin \rho$$

$$\lambda = \pi/2 - \eta - \epsilon$$

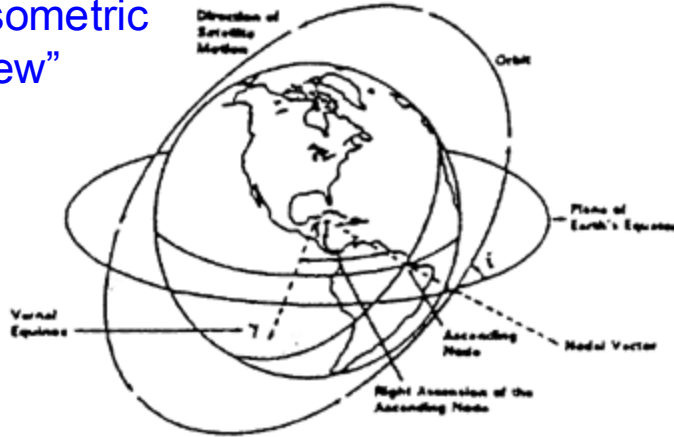
$$\text{tg } \eta = \sin \rho \sin \lambda / (1 - \sin \rho \cos \lambda)$$

$$D = R_T \sin \lambda / \sin \eta$$

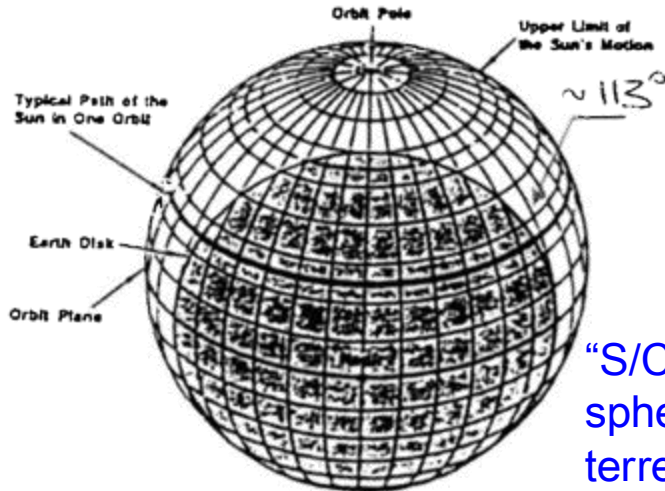
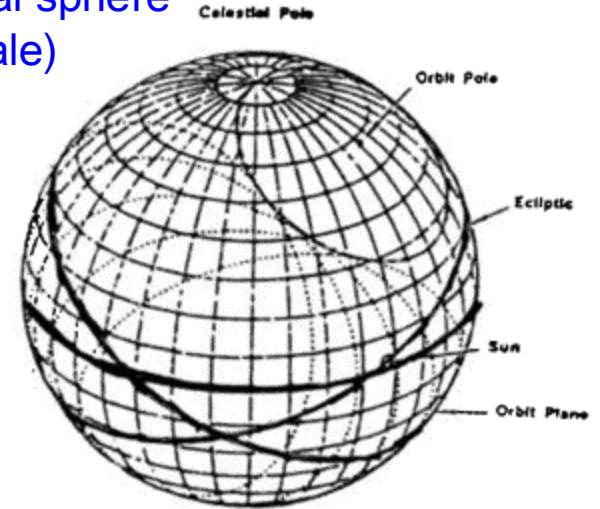


# Geometria di un satellite 2/3

“isometric view”



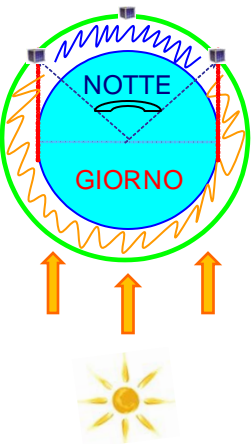
“S/C centered celestial sphere” (inerziale)



“S/C centered celestial sphere” (riferimento terrestre)

$$h = 1000 \text{ km}, i = 32^\circ \Rightarrow$$

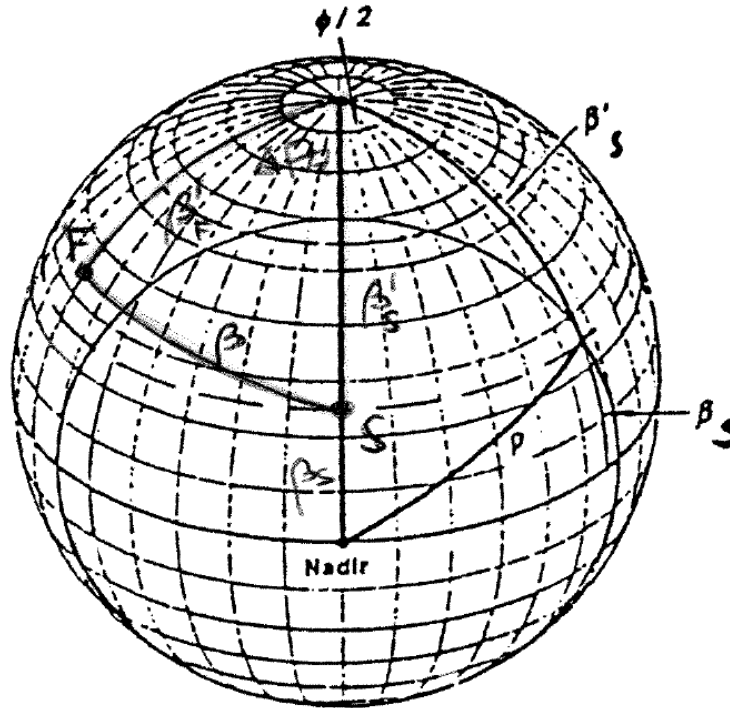
$$\tau = 105 \text{ min}, \rho = 60^\circ$$



# Geometria di un satellite 3/3

“S/C centered celestial sphere”

$$\cos \Phi/2 = \cos \rho / \cos \beta_s$$



Analisi dell'eclissi da una LEO

$$\beta_s = 25^\circ \Rightarrow \Phi/2 = 56.5^\circ$$

Durata fase notturna (eclisse): max e min

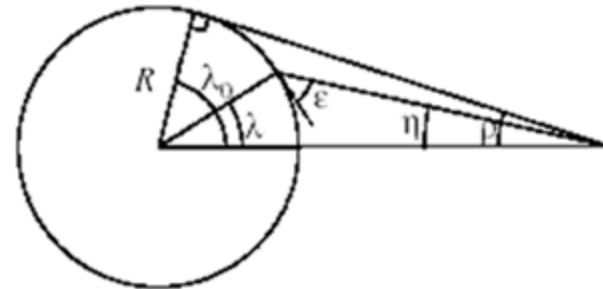
$\beta_s$  : max e min  $\beta$

$$\beta_F = 35^\circ, Az_0 = 70^\circ$$

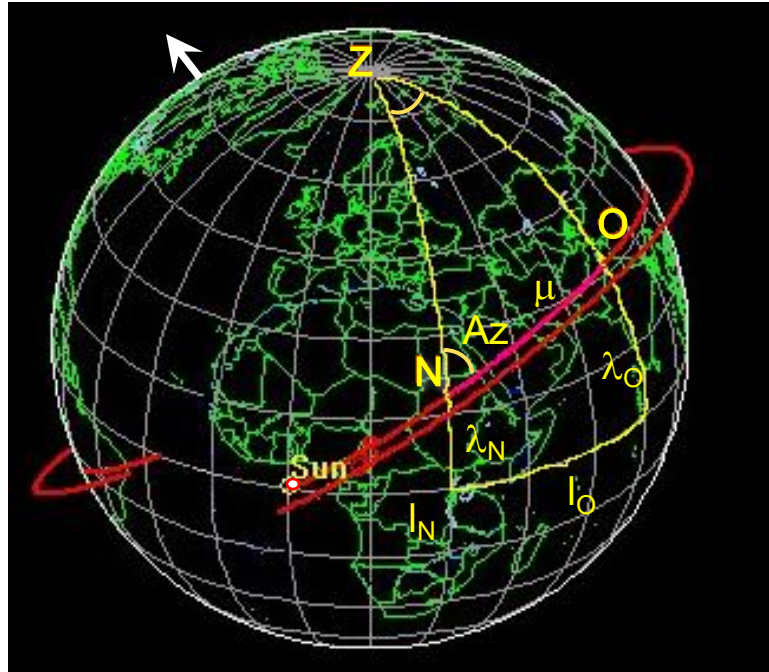
$$A = 0.5 \text{ m}^2 \Rightarrow$$

- “eclisse”:  $Az = Az_0 \pm \Phi/2$

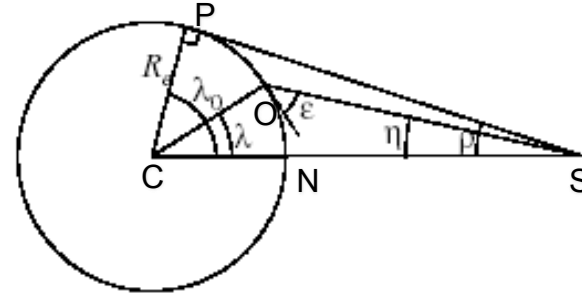
- “dietro”:  $\beta = \pm \pi/2$



# Passaggio sopra la stazione 1/8



“Earth centered celestial sphere”



Miglio: geometria vista dal satellite!

Nota: quella segnata non è un'orbita del satellite ma un cerchio max che passa per O e N

**N = Sub Satellite Point ( $l_N, \lambda_N$ )**

**O = Punto qls Terra ( $\lambda_O, \lambda_O$ ) !!!**

$$\cos \mu = \sin \lambda_N \sin \lambda_O + \cos \lambda_N \cos \lambda_O \cos(l_O - l_N) \quad \Rightarrow \quad \eta$$

$$\sin \lambda_O = \sin \lambda_N \cos \mu + \cos \lambda_N \sin \mu \cos Az \quad (\mu \equiv \lambda)$$

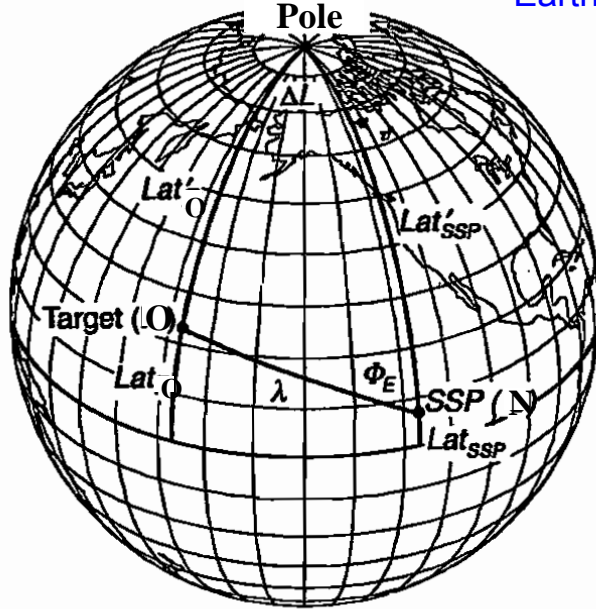
$$\cos Az = (\sin \lambda_O - \sin \lambda_N \cos \mu) / \cos \lambda_N \sin \mu$$

**Risultato: angoli da satellite**

SMAD chapter  
5.2 fig 5-12 p. 112

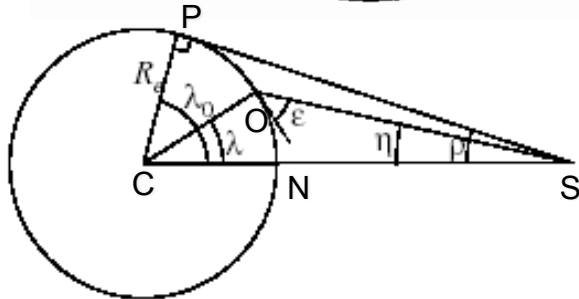
# Passaggio sopra la stazione 2/8

“Earth centered celestial sphere”



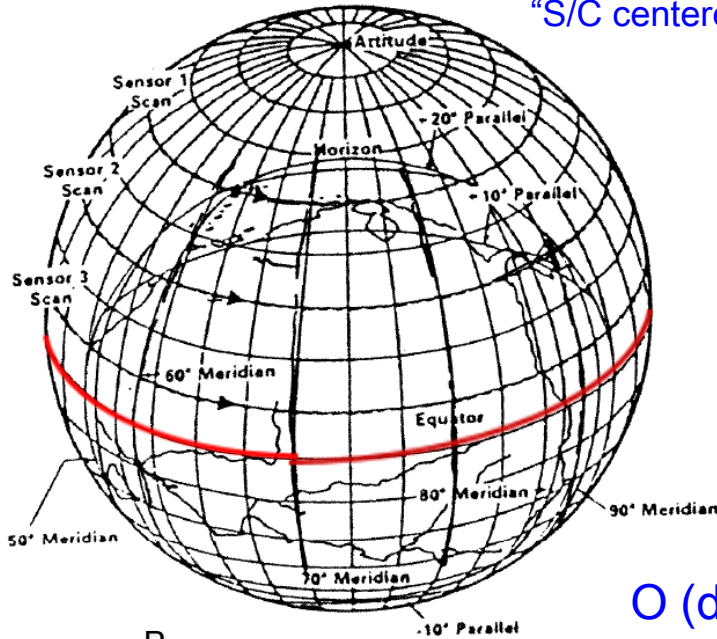
$$l_O = 200^\circ, \lambda_O = 22^\circ \text{ (hawaii)}$$

$$l_N = 185^\circ, \lambda_N = 10^\circ$$



# Passaggio sopra la stazione 3/8

“S/C centered celestial sphere”

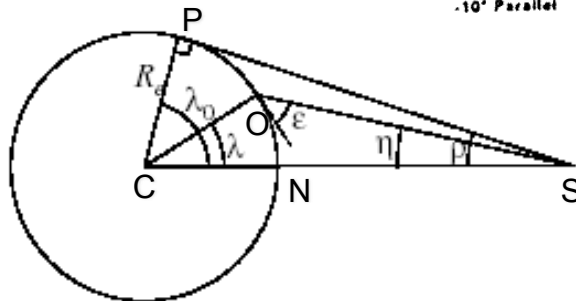


$$l_O = 200^\circ, \lambda_O = 22^\circ \text{ (hawaii)}$$

$$l_N = 185^\circ, \lambda_N = 10^\circ$$

⇒

$$\rho = 59.8^\circ, \lambda_0 = 30.2^\circ, \\ D_{\max} = 3709 \text{ km}$$



O (da N)

$$\lambda = 18.7^\circ \text{ (swath width)}$$

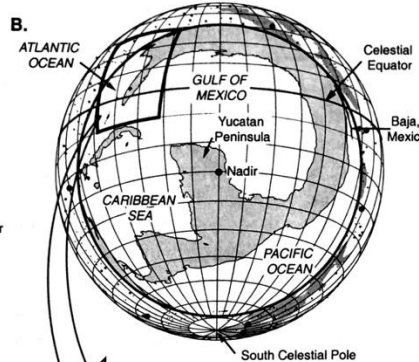
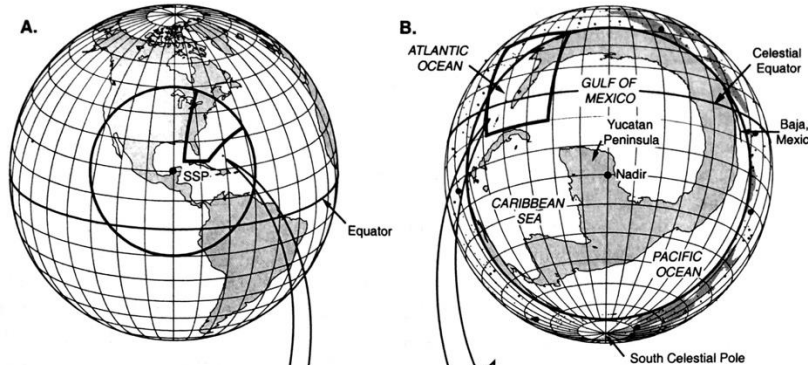
$$Az = 48.3^\circ$$

O (da satellite)

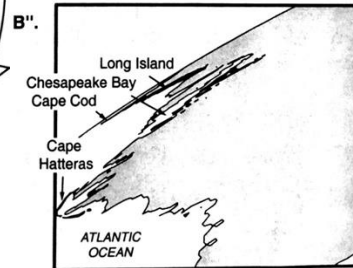
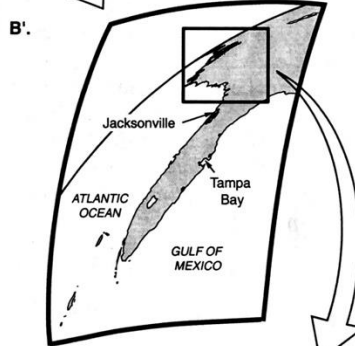
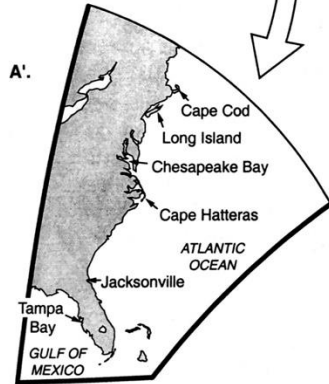
$$\eta = 56.8^\circ \text{ } (\epsilon = 14.5^\circ)$$

$$D = 2444 \text{ km}$$

# Passaggio sopra la stazione 5/8



© Microcosm, Inc. 1998



A. Geometry on the Earth's Surface  
(SSP=Subsatellite Point)

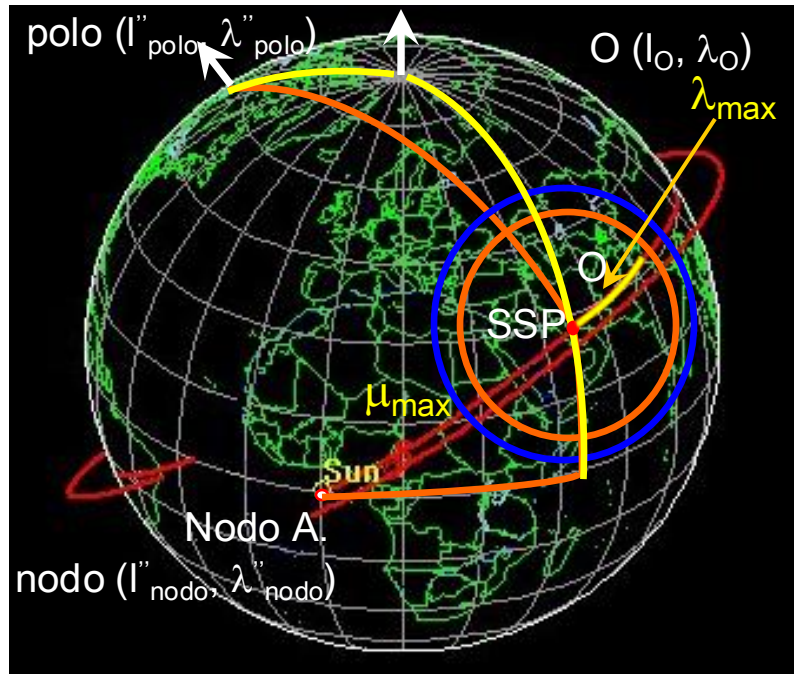
B. Geometry Seen on the Spacecraft Centered  
Celestial Sphere

A'. Region on the Earth Seen by the 35 mm  
Camera Frame Shown in (B')

B'. Field of View of a 35 mm Camera with a  
Normal Lens Looking Along the East Coast  
of the US.

B''. Enlargement of the 35 mm Frame Showing  
the Region from Georgia to Massachusetts.

# Passaggio sopra la stazione 6/8



“Earth centered  
celestial sphere”

$$\sin \eta_{\max} = \cos \varepsilon_{\min} \sin \rho$$

$$\lambda_{\max} = \pi/2 - \eta_{\max} - \varepsilon_{\min}$$

$$D_{\max} = R_T \sin \lambda_{\max} / \sin \eta_{\max}$$

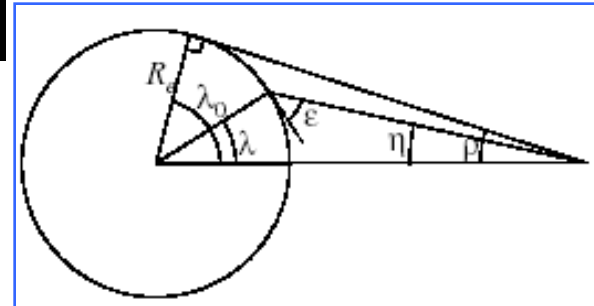
$$\lambda''_{\text{polo}} = \pi/2 - i \quad (\text{lat})$$

$$l''_{\text{polo}} = l''_{\text{nodo}} - \pi/2 \quad (\text{long})$$

$$\sin(l_0 - l''_{\text{nodo}}) = \tan \lambda_0 / \tan i$$

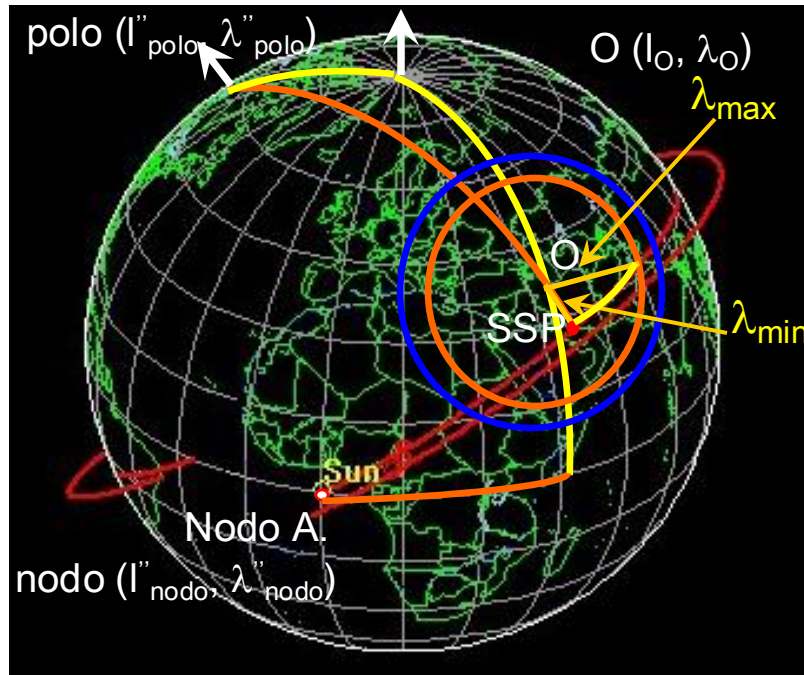
$$\sin \mu_{\max} = \sin \lambda_0 / \sin i$$

$$O \equiv \text{SSP}$$





# Passaggio sopra la stazione 7/8



“Earth centered  
celestial sphere”

$$\sin \eta_{\max} = \cos \varepsilon_{\min} \sin \rho$$

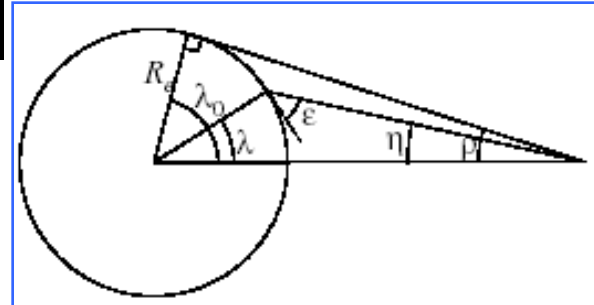
$$\lambda_{\max} = \pi/2 - \eta_{\max} - \varepsilon_{\min}$$

$$D_{\max} = R_T \sin \lambda_{\max} / \sin \eta_{\max}$$

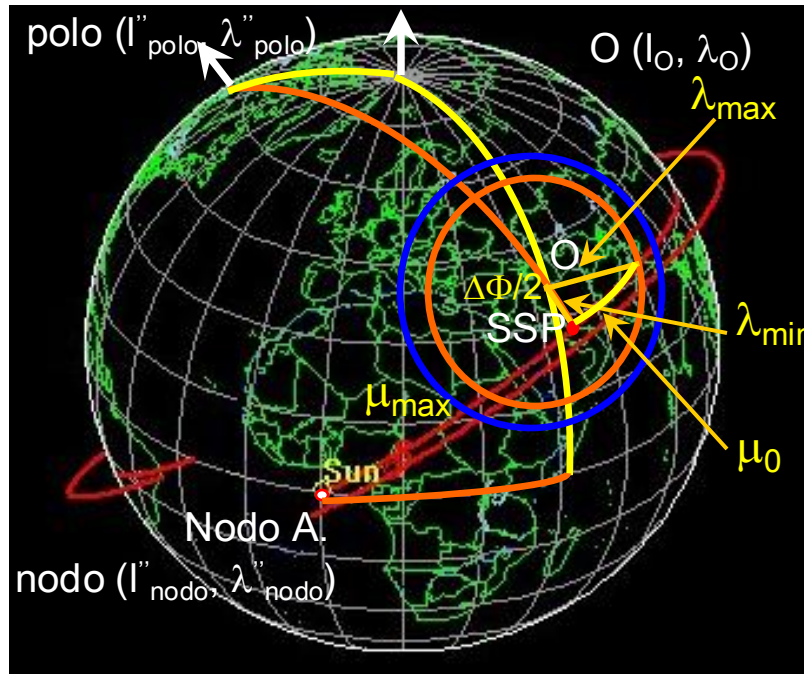
$$\lambda''_{\text{polo}} = \pi/2 - i \quad (\text{lat})$$

$$l''_{\text{polo}} = l''_{\text{nodo}} - \pi/2 \quad (\text{long})$$

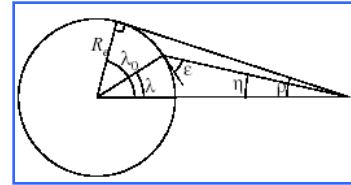
SMAD chapter 5.3.1  
fig 5-17 p. 118-121



# Passaggio sopra la stazione 8/8



“Earth centered  
celestial sphere”



$$\sin(l_0 - l''_{\text{nodo}}) = \tan \lambda_0 / \tan i$$

$$\sin \mu_{\text{max}} = \sin \lambda_0 / \sin i$$

$$O \equiv \text{SSP}$$

$$\begin{aligned} \sin \lambda_{\text{min}} &= \sin \lambda''_{\text{polo}} \sin \lambda_0 + \\ &+ \cos \lambda''_{\text{polo}} \cos \lambda_0 \cos(l_0 - l''_{\text{polo}}) \end{aligned}$$

$$\tan \eta_{\text{min}} = \sin \rho \sin \lambda_{\text{min}} / (1 - \sin \rho \cos \lambda_{\text{min}})$$

$$\varepsilon_{\text{max}} = \pi/2 - \eta_{\text{min}} - \lambda_{\text{min}}$$

$$\omega_{\text{max}} = \dot{\theta}_{\text{max}} \cong v_{\text{sat}} / D_{\text{min}}$$

$$\cos \mu_0 = \cos \lambda_{\text{max}} / \cos \lambda_{\text{min}}$$

$$R_T \sin \lambda_{\text{min}} = D_{\text{min}} \sin \eta_{\text{min}}$$

$$\cos \Delta\Phi/2 = \tan \lambda_{\text{min}} / \tan \lambda_{\text{max}}$$

$$T = (\tau/\pi) \text{acos}(\cos \lambda_{\text{max}} / \cos \lambda_{\text{min}})$$

# Esercizio 1

---

Finestre di lancio:

Supponi che il punto  $\Gamma$  (corrispondentemente all'orbita in cui bisogna lanciare) si trovi a  $30^\circ$  W (rispetto al meridiano di Greenwich) e che la base di lancio sia a Trieste (lat =  $45^\circ$  , long =  $14.5^\circ$  ) e l'inclinazione a cui vuoi mettere in orbita il satellite sia  $60^\circ$  ,  $a=20000$  km,  $e=0.67$ . Al momento del "burn-out" l'angolo di azimuth debba essere  $\gamma = 10^\circ$  ( $\theta=25^\circ$  ).

Valutare:

- il LST (lancio al nodo ascendente e discendente)
- la velocità con cui bisogna lanciare il satellite (sud, est, z)

Ripetere lo stesso esercizio ponendo  $i=80^\circ$  ,  $50^\circ$  ,  $45^\circ$  e  $40^\circ$



## Esercizio 2

---

Finestre di lancio:

Supponi che  $\Omega$  sia  $9.2^\circ$  (sistema inerziale, corrispondentemente all'orbita in cui bisogna lanciare) e che la base di lancio sia a Trieste (lat =  $45^\circ$  , long =  $14.5^\circ$  ) e l'inclinazione a cui vuoi mettere in orbita il satellite sia  $60^\circ$  ,  $a=20000$  km,  $e=0.67$ . Al momento del "burn-out", il satellite si trovera' sulla sua orbita con un'anomalia vera  $\theta=25^\circ$  .

Valutare:

- il LST (lancio al nodo ascendente e discendente)
- la velocita' con cui bisogna lanciare il satellite (sud, est, z)

# Esercizio 3

---

Elemento	Valore	Elemento	Valore
h	400 km	$\Omega$	90 gradi
e	0	$\omega$	N/A gradi
i	60 gradi	$\nu$	0 gradi
			360 gradi

calcolare:

- la massima latitudine della traccia a Terra
- lo spostamento dei nodi per orbita

# Esercizio 4

---

Nelle stesse condizioni, considerando un angolo di elevazione minimo ( $\varepsilon$ ) pari a  $25^\circ$  (e successivamente per  $10^\circ$ ), calcolare:

- la “swath width” ( $2\lambda_{\max}$ )
- il campo di vista richiesto per coprire questo “swath” ( $2\eta_{\max}$ )
- la distanza dal bordo della “swath” ( $D(\lambda_{\max})$ )

# Esercizio 4

Nelle stesse condizioni, considerando un angolo di elevazione minimo ( $\varepsilon$ ) pari a  $25^\circ$  (e successivamente per  $10^\circ$ ), calcolare:

- la “swath width” ( $2\lambda_{\max}$ )
- il campo di vista richiesto per coprire questo “swath” ( $2\eta_{\max}$ )
- la distanza dal bordo della “swath” ( $D(\lambda_{\max})$ )

RESULTS (geometrical variables)		
Max Eclipse time	36,11	min
F	136,15	deg
Eclipse Time T_E = f(b <sub>s</sub> )	35,00	min
	37,8%	
Day Time	57,56	min
	62,2%	
<b>Swath Calculations</b>		
Angular Earth Radius r	70,22	deg
	1,23	rad
Nadir angle h <sub>max</sub>	58,52	deg
	1,02	rad
Earth central angle l <sub>max</sub>	6,48	deg
	0,11	rad
Swath width 2 l <sub>max</sub>	12,96	deg
	0,23	rad
Field of view for swath (FoV) 2 h <sub>max</sub>	117,04	deg
	2,04	rad
Distance to the edge of swath D <sub>max</sub>	844,02	km
Distance to the edge of swath on Earth S <sub>max</sub>	722,11	km
Elevation minimum e <sub>min</sub>	68,69	deg
	1,198806722	rad
Earth central angle l <sub>max</sub>	1,31	deg
	0,022923754	rad
Swath Calculations	146,210832	km
	146,2076306	km
Area	67159,73432	km <sup>2</sup>
P/Area	2,97797E-10	W.m-2
	20	W



## Esercizio 5

---

Nelle condizioni  $h=400$  km,  $e=0$ ,  $i=60^\circ$  , se la stazione a Terra è posta ad una latitudine di  $34^\circ$  N e longitudine di  $118^\circ$  W e la longitudine del nodo ascendente durante il passaggio corrente è di  $75^\circ$  E, calcolare (usare  $\varepsilon_{\min} = 10^\circ$ ):

- la distanza minima fra la S/C e la stazione a terra durante il passaggio corrente (874.6 km)
- la massima velocità angolare al passaggio corrente (30.14 deg/min)
- il tempo in vista della stazione a Terra durante il passaggio corrente (5.15 min)
- il massimo tempo in vista della stazione a Terra durante un passaggio sopra la stazione (6.21 min)
- longitudine della GS affinché la S/C passi sopra essa ( $232.1^\circ$  ,  $97.9^\circ$  )